TROY TECHNICAL

バイオセンサー
ウィークリーレポート

2026年11月8日-11月14日 | Issue 2026-W45

分析妥当性、臨床有用性、業務導線、償還の接続

12	10
分析対象	重点テーマ

発行 2026-11-14 | 日本語版 | 承認済み固定表紙



バイオセンサー:個別発表から認定証拠へ境界が移動

日本語記事12件を棚卸しし、意思決定に重要なテーマを選定した。

シグナル 01 | 生体認識

HearO|Cordio Medicalの音声解析による心不全モニタリング、性能と検証結果

Cordio Medical社が開発したスマートフォンベースの音声解析システム「HearO」が、心不全イベントを平均24.6日前に予測できることを検証した。563人の患者を対象とした多施設共同の盲検化試験「DETECT-HF」において、心不全イベントの70%以上を事前に検知し、85%という高いコンプライアンスを記録した。侵襲的なデバイスを必要とせず、日常的な音声録音のみで肺の水分蓄積を検知できるため、入院リスクの低減と広範な患者への適用が期待される。

シグナル 02 | 信号変換

FDA緊急使用許可(EUA)|新興病原体向け診断テストの検証ガイドラインと基準

米国食品医薬品局(FDA)が、公衆衛生上の緊急事態における新興病原体向け体外診断用医薬品の検証に関する最終ガイダンスを2026年11月10日に発行した。本指針は、分子診断や抗原検査などの診断テストにおいて、規制当局に提示すべき検証データの基準を明確化したものである。これにより、将来のパンデミック発生時にメーカーが迅速かつ適切に診断テストを開発・提供するための枠組みが整備される。

シグナル 03 | デバイス

CRP・SAA検査|結核スクリーニングにおけるWHO目標性能の達成と診断精度

近接ポイントオブケア(Near point-of-care)でのC反応性蛋白(CRP)および血清アミロイドA(SAA)検査が、結核(TB)スクリーニングにおけるWHOのターゲット製品プロファイル(TPP)基準を満たした。SAAは感度96.5%・特異度88.6%、CRPは感度96.5%・特異度86.0%という高い診断精度を示し、両者を組み合わせることで感度100.0%を達成した。これにより、高負担国において安価で拡張性の高い結核スクリーニングツールの提供が可能になる。

シグナル 04 | 臨床導線

SB-FinFET|心疾患バイオマーカー検出向け非標識センサーの構造と性能

心疾患のバイオマーカーを非標識で検出可能な、新しい形式のショットキー障壁FinFET(SB-FinFET)が設計・シミュレーションされました。非対称な3層チャネル積層構造を採用し、外側2層で電流駆動力を、中央層で高感度な信号変換を担わせることで、駆動能と検知能を分離しています。このデバイスは、従来のNC-FETやTFETと同等の性能を維持しつつ、製造コストと複雑性を低減できるため、迅速なポイントケア診断への応用が期待されます。

編集判断

今週の経営判断は 分析妥当性、臨床有用性、業務導線、償還の接続 に集中する。自社条件で関連証拠を再現できる場合だけ次へ進む。

経営の3アクション

1. 事業会社: 用途、比較法、誤判定コスト、測定後の行動を先に定義する.
2. 供給企業: 感応材料とデバイスを校正、安定性、量産性、データ完全性へ接続する.
3. 経営層: 検体差、特異度、ドリフト、臨床評価、規制、支払.

証拠の読み方

FACTは収集記事に書かれた内容、事業への読みとACTIONは編集判断、UNKNOWNは記事だけでは確定しない項目を示す。リンク先があることだけで、全主張が独立検証済みとは扱わない。

条件と一緒に読む主要数値・証拠

24.6日
A12

数値の条件
Cordio Medical社が開発したスマートフォンベースの音声解析システム「HearO」が、心不全イベントを平均24.6日前に予測できることを検証した。563人の患者を対象とした多施設共同の盲検化試験「DETECT-HF」において、心不全イベントの70%以上を事前に検知し、85%という高いコンプライアンスを記録した。

2026年
A11

数値の条件
米国食品医薬品局(FDA)が、公衆衛生上の緊急事態における新興病原体向け体外診断用医薬品の検証に関する最終ガイダンスを2026年11月10日に発行した。本指針は、分子診断や抗原検査などの診断テストにおいて、規制当局に提示すべき検証データの基準を明確化したものである。これにより、将来のパンデミック発生時にメーカーが迅速かつ適切に診断テストを開発・提供するための枠組みが整備される。

96.5%
A04

数値の条件
近接ポイントオブケア(Near point-of-care)でのC反応性蛋白(CRP)および血清アミロイドA(SAA)検査が、結核(TB)スクリーニングにおけるWHOのターゲット製品プロファイル(TPP)基準を満たした。SAAは感度96.5%・特異度88.6%、CRPは感度96.5%・特異度86.0%という高い診断精度を示し、両者を組み合わせることで感度100.0%を達成した。

3層
A07

数値の条件
心疾患のバイオマーカーを非標識で検出可能な、新しい形式のショットキー障壁FinFET(SB-FinFET)が設計・シミュレーションされました。非対称な3層チャネル積層構造を採用し、外側2層で電流駆動力を、中央層で高感度な信号変換を担わせることで、駆動能と検知能を分離しています。このデバイスは、従来のNC-FETやTFETと同等の性能を維持しつつ、製造コストと複雑性を低減できるため、迅速なポイントケア診断への応用が期待されます。

42人
A02

数値の条件
小児集中治療室(PICU)において、非侵襲的な汗パッチを用いて神経損傷バイオマーカーを継続的に収集できることが実証されました。42人の患者を対象とした試験で、GFAPやNfLなどの指標を安全に測定でき、分析可能な汗量をすべて得られたほか、大半のサンプルで変動係数(CV)20%未満という高い精度を達成しました。これにより、従来の侵襲的な採血や断続的な検査に頼らず、潜在的な脳損傷を長期的にモニタリングできる可能性があります。

数値の読み方
数値は収集記事が示した条件と一緒に掲載する。試験法、寸法、温度、商用段階が異なる値を、条件補正なしで比較しない。

バリューチェーンはどこで動いたか

各段階に主テーマと補助テーマを接続する。矢印は装飾ではなく、次工程へ渡す証拠を示す。

1

生体認識

P01/P06

Cordio Medical社が開発したスマートフォンベースの音声解析システム「HearO」が、心不全イベントを平均24.6日前に予測できることを検証した。

2

信号変換

P02/P07

米国食品医薬品局(FDA)が、公衆衛生上の緊急事態における新興病原体向け体外診断用医薬品の検証に関する最終ガイダンスを2026年11月10日に発行した。

3

デバイス

P03/P08

近接ポイントオブケア(Near point-of-care)でのC反応性蛋白(CRP)および血清アミロイドA(SAA)検査が、結核(TB)スクリーニングにおけるWHOのターゲット製品プロファイル(TPP)基準を満たした。SAAは感度96.

4

臨床導線

P04/P09

心疾患のバイオマーカーを非標識で検出可能な、新しい形式のショットキー障壁FinFET(SB-FinFET)が設計・シミュレーションされました。

5

データ・償還

P05/P10

小児集中治療室(PICU)において、非侵襲的な汗パッチを用いて神経損傷バイオマーカーを継続的に収集できることが実証されました。

各受渡しで必要な証拠

生体認識 → 信号変換	試験条件、受入基準、故障データ、担当、判断日を渡し、再確認する: 検体差、特異度、ドリフト、臨床評価、規制、支払.
信号変換 → デバイス	試験条件、受入基準、故障データ、担当、判断日を渡し、再確認する: 検体差、特異度、ドリフト、臨床評価、規制、支払.
デバイス → 臨床導線	試験条件、受入基準、故障データ、担当、判断日を渡し、再確認する: 検体差、特異度、ドリフト、臨床評価、規制、支払.
臨床導線 → データ・償還	試験条件、受入基準、故障データ、担当、判断日を渡し、再確認する: 検体差、特異度、ドリフト、臨床評価、規制、支払.

共通管理点

担当者が関連証拠を再現し、次を記録するまで商用判断へ進めない: 検体差、特異度、ドリフト、臨床評価、規制、支払.

プライオリティマップ:実装成熟度と次の判断場所



P01	HearO|Cordio Medicalの音声解析による心不全モニタリング、性能と検証結果 システム・導入 | 根拠: システム
P02	FDA緊急使用許可(EUA)|新興病原体向け診断テストの検証ガイドラインと基準 事業・制度・供給 | 根拠: ガイドライン
P03	CRP・SAA検査|結核スクリーニングにおけるWHO目標性能の達成と診断精度 事業・制度・供給 | 根拠: 基準
P04	SB-FinFET|心疾患バイオマーカー検出向け非標識センサーの構造と性能 システム・導入 | 根拠: 採用
P05	汗パッチによる神経損傷マーカー測定|小児集中治療室での実現可能性と精度 技術・工程 | 根拠: 統合・事業語なし
P06	ペーパーベース電気化学バイオセンサ|フェノール系汚染物質の検出性能と構成 技術・工程 | 根拠: 統合・事業語なし
P07	バイオマス由来ハイドロゲルセンサー|汗のpHを無線監視するウェアラブルデバイスの性能 技術・工程 | 根拠: 統合・事業語なし
P08	cGEMとは|耳掛け型ウェアラブルによる血糖値モニタリングの性能と仕組み システム・導入 | 根拠: 商用
P09	多周波数インピーダンス細胞計測|機械学習による血液細胞分化の識別性能と手法 システム・導入 | 根拠: システム
P10	RT-LAMP-LFA|2026年Bundibugyoウイルス検出法の性能と診断時間 事業・制度・供給 | 根拠: インフラ

再現可能な配置ルール
横軸は研究・試作・共同評価・製品採用・量産の5段階。縦の帯は次の判断場所を技術・工程、システム・導入、事業・制度・供給に分ける。まず記事見出しの根拠語を使い、見出しで判断できない場合だけ概要を参照する。上下は影響の大小を意味しない。円径は編集スコアを示す。

FACTは収集記事に接続し、事業への読み、ACTION、UNKNOWNは編集判断として分離する。

P01 HearO|Cordio Medicalの音声解析による心不全モニタリング、性能と検証結果

A12 | 生体認識 | 共同評価 2026-11-09

FACT
Cordio Medical社が開発したスマートフォンベースの音声解析システム「HearO」が、心不全イベントを平均24.6日前に予測できることを検証した。563人の患者を対象とした多施設共同の盲検化試験「DETECT-HF」において、心不全イベントの70%以上を事前に検知し、85%という高いコンプライアンスを記録した。侵襲的なデバイスを必要とせず、日常的な音声録音のみで肺の水分蓄積を検知できるため、入院リスクの低減と広範な患者への適用が期待される。

なぜ重要か
判断上の焦点は「分析妥当性、臨床有用性、業務導線、償還の接続」である。見出しだけで採用せず、用途と運用条件で再現できるかを確認する。

事業への読み
事業会社は現在の認定・調達・製品ロードマップへの影響を比較する。材料・装置・技術企業は、感応材料とデバイスを校正、安定性、量産性、データ完全性へ接続する。

ACTION
30日以内に、用途、比較法、誤判定コスト、測定後の行動を先に定義する。結果と担当者をP01の評価票へ記録する。

UNKNOWN
記事だけでは確定しない項目: 検体差、特異度、ドリフト、臨床評価、規制、支払。

編集スコア 19/25 | 成熟度 3/5 | 判断場所: システム・導入

P02 FDA緊急使用許可(EUA)|新興病原体向け診断テストの検証ガイドラインと基準

A11 | 信号変換 | 試作 2026-11-10

FACT
米国食品医薬品局(FDA)が、公衆衛生上の緊急事態における新興病原体向け体外診断用医薬品の検証に関する最終ガイダンスを2026年11月10日に発行した。本指針は、分子診断や抗原検査などの診断テストにおいて、規制当局に提示すべき検証データの基準を明確化したものである。これにより、将来のパンデミック発生時にメーカーが迅速かつ適切に診断テストを開発・提供するための枠組みが整備される。

なぜ重要か
判断上の焦点は「分析妥当性、臨床有用性、業務導線、償還の接続」である。見出しだけで採用せず、用途と運用条件で再現できるかを確認する。

事業への読み
事業会社は現在の認定・調達・製品ロードマップへの影響を比較する。材料・装置・技術企業は、感応材料とデバイスを校正、安定性、量産性、データ完全性へ接続する。

ACTION
30日以内に、用途、比較法、誤判定コスト、測定後の行動を先に定義する。結果と担当者をP02の評価票へ記録する。

UNKNOWN
記事だけでは確定しない項目: 検体差、特異度、ドリフト、臨床評価、規制、支払。

編集スコア 19/25 | 成熟度 2/5 | 判断場所: 事業・制度・供給

FACTは収集記事に接続し、事業への読み、ACTION、UNKNOWNは編集判断として分離する。

P03 CRP・SAA検査|結核スクリーニングにおけるWHO目標性能の達成と診断精度

A04 | デバイス | 製品採用

2026-11-11

FACT

近接ポイントオブケア(Near point-of-care)でのC反応性蛋白(CRP)および血清アミロイドA(SAA)検査が、結核(TB)スクリーニングにおけるWHOのターゲット製品プロファイル(TPP)基準を満たした。SAAは感度96.5%・特異度88.6%、CRPは感度96.5%・特異度86.0%という高い診断精度を示し、両者を組み合わせることで感度100.0%を達成した。これにより、高負担国において安価で拡張性の高い結核スクリーニングツールの提供が可能になる。

なぜ重要か

判断上の焦点は「分析妥当性、臨床有用性、業務導線、償還の接続」である。見出しだけで採用せず、用途と運用条件で再現できるかを確認する。

事業への読み

事業会社は現在の認定・調達・製品ロードマップへの影響を比較する。材料・装置・技術企業は、感応材料とデバイスを校正、安定性、量産性、データ完全性へ接続する。

ACTION

30日以内に、用途、比較法、誤判定コスト、測定後の行動を先に定義する。結果と担当者をP03の評価票へ記録する。

UNKNOWN

記事だけでは確定しない項目: 検体差、特異度、ドリフト、臨床評価、規制、支払。

編集スコア 18/25 | 成熟度 4/5 | 判断場所: 事業・制度・供給

P04 SB-FinFET|心疾患バイオマーカー検出向け非標識センサーの構造と性能

A07 | 臨床導線 | 製品採用

先行発表 2026-11-06

FACT

心疾患のバイオマーカーを非標識で検出可能な、新しい形式のショットキー障壁FinFET(SB-FinFET)が設計・シミュレーションされました。非対称な3層チャネル積層構造を採用し、外側2層で電流駆動力を、中央層で高感度な信号変換を担わせることで、駆動能と検知能を分離しています。このデバイスは、従来のNC-FETやTFETと同等の性能を維持しつつ、製造コストと複雑性を低減できるため、迅速なポイントケア診断への応用が期待されます。

なぜ重要か

判断上の焦点は「分析妥当性、臨床有用性、業務導線、償還の接続」である。見出しだけで採用せず、用途と運用条件で再現できるかを確認する。

事業への読み

事業会社は現在の認定・調達・製品ロードマップへの影響を比較する。材料・装置・技術企業は、感応材料とデバイスを校正、安定性、量産性、データ完全性へ接続する。

ACTION

30日以内に、用途、比較法、誤判定コスト、測定後の行動を先に定義する。結果と担当者をP04の評価票へ記録する。

UNKNOWN

記事だけでは確定しない項目: 検体差、特異度、ドリフト、臨床評価、規制、支払。

編集スコア 18/25 | 成熟度 4/5 | 判断場所: システム・導入

FACTは収集記事に接続し、事業への読み、ACTION、UNKNOWNは編集判断として分離する。

P05 汗パッチによる神経損傷マーカー測定|小児集中治療室での実現可能性と精度

A02 | データ・償還 | 共同評価

2026-11-09

FACT

小児集中治療室(PICU)において、非侵襲的な汗パッチを用いて神経損傷バイオマーカーを継続的に収集できることが実証されました。42人の患者を対象とした試験で、GFAPやNfLなどの指標を安全に測定でき、分析可能な汗量をすべて得られたほか、大半のサンプルで変動係数(CV)20%未満という高い精度を達成しました。これにより、従来の侵襲的な採血や断続的な検査に頼らず、潜在的な脳損傷を長期的にモニタリングできる可能性があります。

なぜ重要か

判断上の焦点は「分析妥当性、臨床有用性、業務導線、償還の接続」である。見出しだけで採用せず、用途と運用条件で再現できるかを確認する。

事業への読み

事業会社は現在の認定・調達・製品ロードマップへの影響を比較する。材料・装置・技術企業は、感応材料とデバイスを校正、安定性、量産性、データ完全性へ接続する。

ACTION

30日以内に、用途、比較法、誤判定コスト、測定後の行動を先に定義する。結果と担当者をP05の評価票へ記録する。

UNKNOWN

記事だけでは確定しない項目: 検体差、特異度、ドリフト、臨床評価、規制、支払。

編集スコア 18/25 | 成熟度 3/5 | 判断場所: 技術・工程

P06 ペーパーベース電気化学バイオセンサ|フェノール系汚染物質の検出性能と構成

A09 | 生体認識 | 共同評価

2026-11-10

FACT

水中の微量なフェノール系汚染物質を検出可能な、柔軟なペーパーベースの電気化学バイオセンサが開発されました。二硫化モリブデンと還元酸化グラフェンのナノハイブリッドにイオン液体を組み合わせ、酵素ラッカーゼを固定化することで、17β-エストラジオールとハイドロキノンを高感度に識別します。低コストで使い捨て可能な環境負荷の低いプラットフォームであり、実環境のサンプルにおいても高い回収率で検出できることが実証されました。

なぜ重要か

判断上の焦点は「分析妥当性、臨床有用性、業務導線、償還の接続」である。見出しだけで採用せず、用途と運用条件で再現できるかを確認する。

事業への読み

事業会社は現在の認定・調達・製品ロードマップへの影響を比較する。材料・装置・技術企業は、感応材料とデバイスを校正、安定性、量産性、データ完全性へ接続する。

ACTION

30日以内に、用途、比較法、誤判定コスト、測定後の行動を先に定義する。結果と担当者をP06の評価票へ記録する。

UNKNOWN

記事だけでは確定しない項目: 検体差、特異度、ドリフト、臨床評価、規制、支払。

編集スコア 18/25 | 成熟度 3/5 | 判断場所: 技術・工程

FACTは収集記事に接続し、事業への読み、ACTION、UNKNOWNは編集判断として分離する。

P07 バイオマス由来ハイドロゲルセンサー|汗のpHを無線監視するウェアラブルデバイスの性能

A10 | 信号変換 | 試作

2026-11-08

FACT

バイオマス由来のカーボンとポリアニリンを用いた、運動中の汗のpHをリアルタイムで無線監視できるウェアラブルセンサーが開発されました。このセンサーは285%の破断伸長率という高い柔軟性と、pH単位あたり85.62 ± 0.79 mVという高い電位差感度を両立しています。物理的な変形による影響を受けずに安定した測定が可能なため、身体運動を伴う環境下での実用的なバイオ流体分析を実現します。

なぜ重要か

判断上の焦点は「分析妥当性、臨床有用性、業務導線、償還の接続」である。見出しだけで採用せず、用途と運用条件で再現できるかを確認する。

事業への読み

事業会社は現在の認定・調達・製品ロードマップへの影響を比較する。材料・装置・技術企業は、感応材料とデバイスを校正、安定性、量産性、データ完全性へ接続する。

ACTION

30日以内に、用途、比較法、誤判定コスト、測定後の行動を先に定義する。結果と担当者をP07の評価票へ記録する。

UNKNOWN

記事だけでは確定しない項目: 検体差、特異度、ドリフト、臨床評価、規制、支払。

編集スコア 18/25 | 成熟度 2/5 | 判断場所: 技術・工程

P08 cGEMとは|耳掛け型ウェアラブルによる血糖値モニタリングの性能と仕組み

A01 | デバイス | 試作

2026-11-11

FACT

耳掛け型デバイスで耳からの汗を用いて血糖値を測定する「cGEM」が開発されました。商用CGMとの比較でMARD 8.79%という高い精度を達成し、1.5〜5時間の断続的なセッションにおいても相関係数 r = 0.88 の強い相関を示しています。これにより、従来の糖尿病管理向け固定装着型ではなく、ウェルネスやスポーツなどの用途に合わせたオンデマンドな代謝モニタリングが可能になります。

なぜ重要か

判断上の焦点は「分析妥当性、臨床有用性、業務導線、償還の接続」である。見出しだけで採用せず、用途と運用条件で再現できるかを確認する。

事業への読み

事業会社は現在の認定・調達・製品ロードマップへの影響を比較する。材料・装置・技術企業は、感応材料とデバイスを校正、安定性、量産性、データ完全性へ接続する。

ACTION

30日以内に、用途、比較法、誤判定コスト、測定後の行動を先に定義する。結果と担当者をP08の評価票へ記録する。

UNKNOWN

記事だけでは確定しない項目: 検体差、特異度、ドリフト、臨床評価、規制、支払。

編集スコア 18/25 | 成熟度 2/5 | 判断場所: システム・導入

FACTは収集記事に接続し、事業への読み、ACTION、UNKNOWNは編集判断として分離する。

P09 多周波数インピーダンス細胞計測|機械学習による血液細胞分化の識別性能と手法

A06 | 臨床導線 | 製品採用

2026-11-13

FACT

多周波数マイクロ流体インピーダンス細胞計測を用いて、血液細胞の多段階的な分化を識別するシステムが開発されました。機械学習を導入したこのプラットフォームは、最小F1スコア0.92という高い精度で細胞を分類し、偽陰性と偽陽性の両方を最小限に抑えています。電気的特性と機械的特性を同時に測定するマルチモーダルなアプローチにより、医療診断における細胞識別の精度向上が期待されます。

なぜ重要か

判断上の焦点は「分析妥当性、臨床有用性、業務導線、償還の接続」である。見出しだけで採用せず、用途と運用条件で再現できるかを確認する。

事業への読み

事業会社は現在の認定・調達・製品ロードマップへの影響を比較する。材料・装置・技術企業は、感応材料とデバイスを校正、安定性、量産性、データ完全性へ接続する。

ACTION

30日以内に、用途、比較法、誤判定コスト、測定後の行動を先に定義する。結果と担当者をP09の評価票へ記録する。

UNKNOWN

記事だけでは確定しない項目: 検体差、特異度、ドリフト、臨床評価、規制、支払。

編集スコア 18/25 | 成熟度 4/5 | 判断場所: システム・導入

P10 RT-LAMP-LFA|2026年Bundibugyoウイルス検出法の性能と診断時間

A05 | データ・償還 | 試作

2026-11-12

FACT

2026年のBundibugyoウイルス(BDBV)流行株を迅速に検出する、RT-LAMP-LFA法が開発されました。この手法はC-PASラテラルフロープラットフォームを用いて、全工程を25分以内に完了させることが可能です。検査インフラが限られた環境での迅速な診断を可能にし、患者管理と感染拡大防止に寄与することが期待されます。

なぜ重要か

判断上の焦点は「分析妥当性、臨床有用性、業務導線、償還の接続」である。見出しだけで採用せず、用途と運用条件で再現できるかを確認する。

事業への読み

事業会社は現在の認定・調達・製品ロードマップへの影響を比較する。材料・装置・技術企業は、感応材料とデバイスを校正、安定性、量産性、データ完全性へ接続する。

ACTION

30日以内に、用途、比較法、誤判定コスト、測定後の行動を先に定義する。結果と担当者をP10の評価票へ記録する。

UNKNOWN

記事だけでは確定しない項目: 検体差、特異度、ドリフト、臨床評価、規制、支払。

編集スコア 18/25 | 成熟度 2/5 | 判断場所: 事業・制度・供給

関係者別プレイブックと0-5年ロードマップ

関係者	NOW | 0-30日	NEXT | 1-12か月	LATER | 1-5年
事業会社	用途、比較法、誤判定コスト、測定後の行動を先に定義する	量産相当条件で受入基準と停止基準を明示して評価する。	技術・供給者の変更を吸収できるポートフォリオと設計へ移る。
材料・装置・技術企業	感応材料とデバイスを校正、安定性、量産性、データ完全性へ接続する	顧客と信頼性・工程窓・故障解析の共通データを作る。	界面、履歴、ライフサイクル支援、回収サービスを標準化する。
商社・投資・法務	Map 検体差、特異度、ドリフト、臨床評価、規制、支払.	能力、品質、変更通知、責任、代替、撤退を契約へ入れる。	地域・技術・顧客の集中リスクを分散する。

ロードマップ

NOW | 0-30日
証拠台帳
担当: Strategy + quality
成果物: claim, source, condition, owner

NOW | 0-30日
リスク選別
担当: Procurement + legal
成果物: unknowns, alternatives, stop

NEXT | 1-12か月
共同認定
担当: R&D + supplier
成果物: 工程窓・故障データ

NEXT | 1-12か月
商用ゲート
担当: Business + finance
成果物: 単位採算・供給能力

LATER | 1-5年
プラットフォーム戦略
担当: 経営
成果物: ポートフォリオ・界面ロードマップ

LATER | 1-5年
サービス層
担当: Operations + channel
成果物: 監視・保守・回復

Go / No-Goゲート

ゲート	担当	必要な証拠	中止条件
G1 証拠	品質	出典・試験条件・再現性	追跡可能な証拠なし
G2 統合	研究開発	界面・工程窓・故障解析	システム条件を満たさない
G3 商用	事業	能力・総原価・契約・代替	採算または供給が成立しない
G4 運用	運用	監視・保守・変更通知・撤退	責任ある運用計画なし

分析対象記事 | 01-12件目

全記事の正式タイトルと元記事URLを省略せず表示する。URLは折返しても全文を保持し、クリックできる。

ID	記事タイトル(全文)	元記事URL(全文・クリック可能)
A01	cGEMとは|耳掛け型ウェアラブルによる血糖値モニタリングの性能と仕組み	https://doi.org/10.21203/rs.3.rs-11505206/v1
A02	汗パッチによる神経損傷マーカー測定|小児集中治療室での実現可能性と精度	https://doi.org/10.1097/cce.0000000000001505
A03	光流体プローブ|血管内での血中酸素飽和度と血流速度を定量計測する新技術	https://doi.org/10.64898/2026.11.03.763613
A04	CRP・SAA検査|結核スクリーニングにおけるWHO目標性能の達成と診断精度	https://doi.org/10.64898/2026.11.10.26367691
A05	RT-LAMP-LFA|2026年Bundibugyoウイルス検出法の性能と診断時間	https://doi.org/10.64898/2026.11.09.765523
A06	多周波数インピーダンス細胞計測|機械学習による血液細胞分化の識別性能と手法	https://doi.org/10.64898/2026.11.12.766153
A07	SB-FinFET|心疾患バイオマーカー検出向け非標識センサーの構造と性能	https://doi.org/10.21203/rs.3.rs-11230907/v1
A08	ナノバイオセンサー|HIV抗体等を検出する高感度プラットフォームの性能と仕組み	https://biz.heraldcorp.com/article/10933788
A09	ペーパーベース電気化学バイオセンサ|フェノール系汚染物質の検出性能と構成	https://bioengineer.org/paper-based-sensor-detects-trace-phenolic-pollutants/
A10	バイオマス由来ハイドロゲルセンサー|汗のpHを無線監視するウェアラブルデバイスの性能	https://bioengineer.org/stretchable-biomass-hydrogel-sensor-enables-wireless-sweat-ph-monitoring-during-exercise/
A11	FDA緊急使用許可(EUA)|新興病原体向け診断テストの検証ガイドラインと基準	https://clpmag.com/lab-management/compliance/fda-finalizes-emergency-diagnostic-test-validation-guidance/
A12	HearO|Cordio Medicalの音声解析による心不全モニタリング、性能と検証結果	https://finance.yahoo.com/healthcare/articles/pivotal-study-validates-cordio-medicals-133000053.html

バイオセンサー 採用記事全文集

出力日: 2026-11-15

採用記事数: 12 件

収録記事一覧

#01 cGEMとは｜耳掛け型ウェアラブルによる血糖値モニタリングの性能と仕組み

#02 汗パッチによる神経損傷マーカー測定｜小児集中治療室での実現可能性と精度

#03 光流体プローブ｜血管内での血中酸素飽和度と血流速度を定量計測する新技術

#04 CRP・SAA検査｜結核スクリーニングにおけるWHO目標性能の達成と診断精度

#05 RT-LAMP-LFA｜2026年Bundibugyoウイルス検出法の性能と診断時間

#06 多周波数インピーダンス細胞計測｜機械学習による血液細胞分化の識別性能と手法

#07 SB-FinFET｜心疾患バイオマーカー検出向け非標識センサーの構造と性能

#08 ナノバイオセンサー｜HIV抗体等を検出する高感度プラットフォームの性能と仕組み

#09 ペーパーベース電気化学バイオセンサ｜フェノール系汚染物質の検出性能と構成

#10 バイオマス由来ハイドロゲルセンサー｜汗のpHを無線監視するウェアラブルデバイスの性能

#11 FDA緊急使用許可（EUA）｜新興病原体向け診断テストの検証ガイドラインと基準

#12 HearO｜Cordio Medicalの音声解析による心不全モニタリング、性能と検証結果

#01 cGEMとは｜耳掛け型ウェアラブルによる血糖値モニタリングの性能と仕組み

公開日 2026年11月11日　Research Square（プレプリント）



概要

耳掛け型デバイスで耳からの汗を用いて血糖値を測定する「cGEM」が開発されました。商用CGMとの比較でMARD 8.79%という高い精度を達成し、1.5〜5時間の断続的なセッションにおいても相関係数 r = 0.88 の強い相関を示しています。これにより、従来の糖尿病管理向け固定装着型ではなく、ウェルネスやスポーツなどの用途に合わせたオンデマンドな代謝モニタリングが可能になります。

詳細

主要成果

耳掛け型プラットフォーム「cGEM（continuous glucose in-ear monitor）」が開発され、耳から分泌される汗を用いた血糖値の定期的かつオンデマンドなモニタリングが実現しました。本デバイスは、50時間以上のモニタリングにおいて、商用CGM（持続血糖測定器）との平均絶対相対差（MARD）が8.79%という高い一致率を示しています。また、1.5〜5時間の断続的な使用セッションにおいても、商用CGMに対してピアソン相関係数 r = 0.88 という強い相関を記録し、特定のイベントに伴う血糖値応答を正確に捉えられることが実証されました。

技術・詳細

cGEMは、ワイヤレスイヤホンの機能に分子センシングを統合した設計となっており、オーディオ再生機能を維持したまま血糖値測定が可能です。技術的な特徴は以下の通りです。

- **インターフェース：**単純な挿入と取り外しによって皮膚とセンサーの接点を形成するため、従来のCGMのような粘着剤による固定を必要としません。
- **サンプリング機構：**浸透圧による汗の抽出、マイクロ流体サンプリング、および電気化学的なグルコースセンシングを統合しています。
- **信号処理：**デュアルチャネルの適応型ノイズキャンセリングを搭載し、身体装着時に発生する信号アーティファクトを低減しています。
- **個別最適化：**血液中のグルコース濃度と汗中のグルコース濃度の関係には個人差があるため、パーソナライズされたキャリブレーション（校正）を導入しています。

計算モデリングおよびインビトロ（試験管内）評価により、制御された流体輸送と信頼性の高いセンシング性能が確認されています。

背景・業界の文脈

持続血糖モニタリング（CGM）の活用範囲は、従来の糖尿病管理だけでなく、ウェルネス、スポーツ、予防医療へと拡大しています。これらの分野では、特定の生理学的イベント前後など、必要なタイミングでのみ代謝情報を得られれば十分なケースが多くあります。しかし、従来のCGMは糖尿病管理向けに設計されているため、定期的・断続的なモニタリングが十分な状況であっても、24時間体制で固定装着し続ける必要があるという課題がありました。

今後の展望

cGEMは、広く普及しているワイヤレスイヤホンに分子センシング機能を組み込むことで、代謝モニタリングの普及に新たな可能性を提示しています。音楽を聴くことと同様に、日常的かつ容易に血糖値などの代謝状態を把握できる環境の構築が期待されます。

元記事: https://doi.org/10.21203/rs.3.rs-11505206/v1

収集日: 2026年11月14日 | 自動記事収集・翻訳システム (AI使用)

#02 汗パッチによる神経損傷マーカー測定｜小児集中治療室での実現可能性と精度

公開日 2026年11月09日　Critical Care Explorations　アメリカ



概要

小児集中治療室（PICU）において、非侵襲的な汗パッチを用いて神経損傷バイオマーカーを継続的に収集できることが実証されました。42人の患者を対象とした試験で、GFAPやNfLなどの指標を安全に測定でき、分析可能な汗量をすべて得られたほか、大半のサンプルで変動係数（CV）20%未満という高い精度を達成しました。これにより、従来の侵襲的な採血や断続的な検査に頼らず、潜在的な脳損傷を長期的にモニタリングできる可能性があります。

詳細

主要成果

小児集中治療室（PICU）に入院している重症児を対象に、非侵襲的な汗パッチを用いて神経損傷に関連するバイオマーカーを収集するパイロット研究が行われました。その結果、この手法は安全かつ実現可能であり、家族からも受け入れられることが確認されました。分析対象となった41枚のパッチすべてにおいて、アッセイに必要な十分な汗量が確保され、バイオマーカーの測定に成功しています。精度の面では、サンプルの97%が許容範囲内である変動係数（CV）20%未満を維持し、100%のサンプルが境界線であるCV 25%未満に収まりました。

技術・詳細

本研究は、5週間から17歳までの子供42人を対象とした単一施設の前向きパイロット試験です。具体的には、以下の手順と手法が用いられました。

- **収集方法：**汗パッチを装着し、24時間から96時間の間、累積的なバイオマーカー濃度を収集しました。
- **測定対象：**神経損傷に関連する4つのバイオマーカー（GFAP：グリアフィブリラリー酸性タンパク質、UCH-L1：ユビキチンC末端ヒドロラーゼL1、tau：タウ、NfL：ニューロフィラメント軽鎖）を分析しました。
- **分析手法：**シングル分子アレイ（Simoa）アッセイを用いて、パッチ装着時間あたりの濃度および総累積濃度を算出しました。

安全性に関しては、パッチに関連する有害事象は観察されませんでした。また、MRI適合性の懸念により1枚のパッチが早期に除去されましたが、それ以外の運用は計画通りに遂行されました。

背景・業界の文脈

PICUに入院する子供は、低酸素症や低血圧、全身性・神経系の炎症、鎮静剤や鎮痛剤への曝露などにより、後天性脳損傷（ABI）を負うリスクがあります。これらは小児集中治療後症候群（PICS-p）と呼ばれる長期的な神経認知機能の問題につながります。しかし、現状のモニタリングは臨床検査や神経画像診断、脳波測定に依存しており、これらは断続的な測定であるか、リソース消費が激しいか、あるいは微細な細胞損傷に対して感度が低いという課題がありました。

血清や脳脊髄液（CSF）によるバイオマーカー測定は、侵襲的であるだけでなく、概日変動やタンパク質発現の時間的変化の影響を受けるため、標準化が困難でした。また、単一時点の測定では、入院中に発生する一次的・二次的な損傷を十分に捉えきれないという限界がありました。

今後の展望

汗は、数時間から数週間にわたる累積的な分析物濃度を測定できる、非侵襲的なバイオ液体として注目されています。本研究により、乳幼児から青年期までの幅広い年齢層において、一貫して分析可能な量の汗を収集できることが証明されました。このプラットフォームが確立されれば、今後はPICUにおける集中治療の内容と神経損傷の相関関係を評価する研究への応用が期待されます。これにより、潜在的な神経損傷を早期に検出し、よりきめ細やかな神経発達監視の恩恵を受けられる子供を特定することが可能になると考えられます。

元記事: https://doi.org/10.1097/cce.0000000000001505

収集日: 2026年11月14日 | 自動記事収集・翻訳システム (AI使用)

#03 光流体プローブ｜血管内での血中酸素飽和度と血流速度を定量計測する新技術

公開日 2026年11月10日　bioRxiv（プレプリント）　中国



概要

血管内での血中酸素飽和度と血流速度を同時に計測可能な、サブミリメートルスケールの柔軟な光流体プローブが開発されました。ポリマー光ファイバーと微小流体チューブを統合することで、分光オキシメトリと蛍光希釈法による速度計測を単一デバイスで実現しています。これにより、従来の末梢モニターでは検知できない局所的な血行動態の乱れを定量的にモニタリングすることが可能になります。

詳細

主要成果

研究チームは、深部かつ狭い血管内において血中酸素飽和度と血流速度という局所的な血行動態情報を取得できる、柔軟なサブミリメートルスケールの光流体プローブを開発しました。このデバイスを用いることで、血管閉塞および再灌流時に発生する局所的な血行動態の変化を捉えることに成功しており、末梢モニターでは反映されない血行動態の乱れを明らかにしています。

技術・詳細

本プローブは、光伝送を担うポリマー光ファイバーと、染料注入用の微小流体チューブを統合した構造となっています。この設計により、以下の2つの計測手法を単一のデバイスで同時に実行することが可能です。

- 分光オキシメトリ（Spectroscopic oximetry）：光ファイバーを通じて血中酸素飽和度を計測します。
- 蛍光希釈法による速度計測（Fluorescence dilution-based velocimetry）：微小流体チューブから染料を注入し、血流速度を計測します。

性能実証として、血管インターベンションを通じてウサギの動脈における局所的な血行動態センシングを行い、さらにイヌの頸動脈において血管造影ガイド下での展開を実証しました。

背景・業界の文脈

血管インターベンション（血管内治療）において、血中酸素飽和度や血流速度などの局所的な血行動態情報は、治療の指針となる重要な指標です。しかし、深部にある狭い血管からこれらのパラメータを正確に取得することは、これまで技術的な課題となっていました。本研究で開発されたコンパクトな光流体プラットフォームは、これらの課題を解決し、定量的なモニタリングを可能にする手段を提供します。

今後の展望

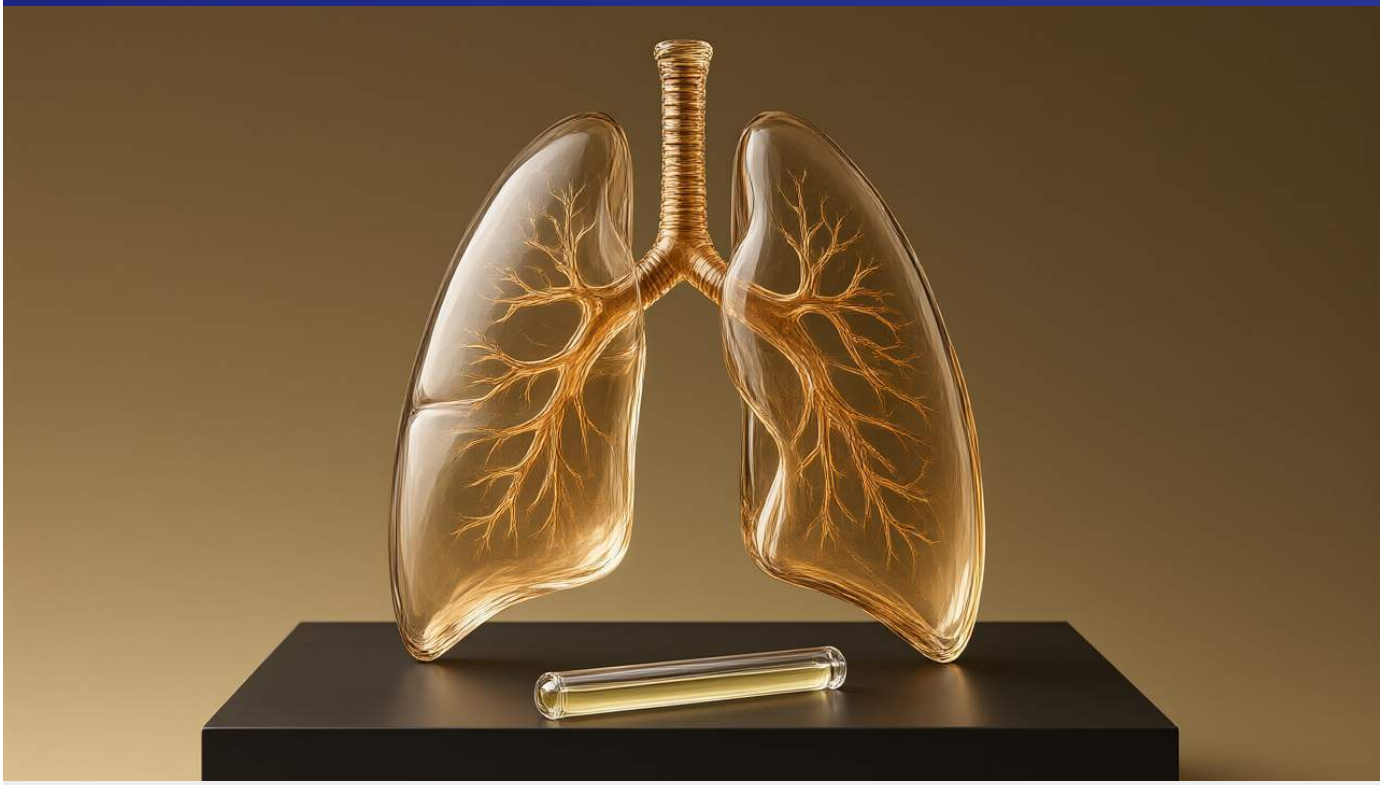
局所的なオキシメトリ（酸素計測）とベロシメトリ（速度計測）から得られる相補的な情報は、血管内治療中の精密な状態把握に寄与します。本デバイスのような小型かつ柔軟なセンシングプラットフォームが確立されることで、より高度で定量的な血行動態モニタリングに基づいた血管内治療の展開が期待されます。

元記事: https://doi.org/10.64898/2026.11.03.763613

収集日: 2026年11月14日 | 自動記事収集・翻訳システム (AI使用)

#04 CRP・SAA検査｜結核スクリーニングにおけるWHO目標性能の達成と診断精度

公開日 2026年11月11日　medRxiv（プレプリント）



概要

近接ポイントオブケア（Near point-of-care）でのC反応性蛋白（CRP）および血清アミロイドA（SAA）検査が、結核（TB）スクリーニングにおけるWHOのターゲット製品プロファイル（TPP）基準を満たした。SAAは感度96.5%・特異度88.6%、CRPは感度96.5%・特異度86.0%という高い診断精度を示し、両者を組み合わせることで感度100.0%を達成した。これにより、高負担国において安価で拡張性の高い結核スクリーニングツールの提供が可能になる。

詳細

主要成果

結核（TB）のスクリーニングにおいて、血清アミロイドA（SAA）とC反応性蛋白（CRP）を用いた近接ポイントオブケア（NPOCT）検査が、WHO（世界保健機関）のターゲット製品プロファイル（TPP）基準を満たす性能を示した。特に、確定結核患者を特定する能力において、SAAとCRPはそれぞれ極めて優れた診断性能を達成した。また、これら2つのバイオマーカーを組み合わせて使用した場合、感度は100.0%、特異度は83.3%に達した。

技術・詳細

本研究は、保存されていた血清サンプルを用いた横断的な診断研究である。対象は、細菌学的に確定した有症状結核グループ（n=57）、結核の疑いがあるグループ（n=56）、および健康な対照群（n=60）の3群で構成されている。測定には、CRPとSAAに対しては近接ポイントオブケア蛍光免疫測定法（NPOCT-FIA）が用いられ、インターフェロンガンマ誘導性タンパク質10（IP-10）に対しては酵素結合免疫吸着測定法（ELISA）が用いられた。

受信者動作特性（ROC）分析による個別の診断性能は以下の通りである。

- **SAA**：AUC 0.961（カットオフ値 > 31.0 mg/L）、感度 96.5%、特異度 88.6%
- **CRP**：AUC 0.953（カットオフ値 21.3 mg/L）、感度 96.5%、特異度 86.0%
- **IP-10**：AUC 0.545であり、識別能は低かった。

背景・業界の文脈

結核の負担が大きい国々において、結核根絶戦略を推進するためには、安価で拡張性が高く、かつアクセスしやすいスクリーニングツールの導入が不可欠となっている。従来の診断手法に加え、迅速に判定可能なバイオマーカーの特定は、効率的なトリアージ（優先順位付け）を実現するために重要である。本研究では、炎症マーカーであるCRPやSAAが、結核の早期スクリーニングにおいて実用的な指標となり得るかを検証した。

今後の展望

SAAおよびCRPを用いた検査がWHOのターゲット製品プロファイル基準を満たしたことで、これらの指標を組み込んだ迅速診断ツールが結核のトリアージスクリーニングに活用される道が開かれた。特に、感度100.0%を達成したCRPとSAAの併用検査は、見落としを最小限に抑えたいスクリーニング段階において極めて有効な手段となることが期待される。

元記事: https://doi.org/10.64898/2026.11.10.26367691

収集日: 2026年11月14日 | 自動記事収集・翻訳システム (AI使用)

#05 RT-LAMP-LFA｜2026年Bundibugyoウイルス検出法の性能と診断時間

公開日 2026年11月12日　bioRxiv（プレプリント）　日本



概要

2026年のBundibugyoウイルス（BDBV）流行株を迅速に検出する、RT-LAMP-LFA法が開発されました。この手法はC-PASラテラルフロープラットフォームを用いて、全工程を25分以内に完了させることが可能です。検査インフラが限られた環境での迅速な診断を可能にし、患者管理と感染拡大防止に寄与することが期待されます。

詳細

主要成果

2026年に発生したBundibugyoウイルス（BDBV）の流行株を迅速に検出するための、逆転写ループ媒介等温増幅法とラテラルフローアッセイを組み合わせた手法（RT-LAMP-LFA）が開発されました。この検査系は、BDBV RNAを特異的に検出し、全ワークフローを25分以内に完了できる性能を備えています。

技術・詳細

本技術では、2026年の流行株のゲノム配列に基づいてLAMPプライマーを設計し、利用可能なすべての2026年流行株ゲノムにおいてプライマー結合部位が保存されていることをin silico（コンピュータ上）で確認しています。

分析的な特異性と感度の評価は、BDBVおよび他のフィロウイルスから得られたin vitro転写RNA（ivtRNA）、ならびにアルボウイルスや哺乳類細胞由来のRNAを用いて行われました。増幅産物の検出には、Chromatography-Printed Array Strip（C-PAS）ラテラルフロープラットフォームが採用されています。

検証の結果、テストした他のウイルスや細胞RNAによる非特異的な増幅は認められず、BDBV RNAのみを特異的に検出することに成功しました。検出感度については、1反応あたり10^3コピーまで一貫した増幅が観察されています。

背景・業界の文脈

Bundibugyoウイルス（BDBV）は、エボラ病を引き起こすフィロウイルスの一種です。新興感染症や再興感染症の流行において、正確な診断は患者の管理および感染制御のための極めて重要な第一歩となります。特に2026年の流行においては、高度な検査設備やラボインフラが十分に整っていない環境においても展開可能な、迅速な診断アプローチの必要性が浮き彫りとなりました。

今後の展望

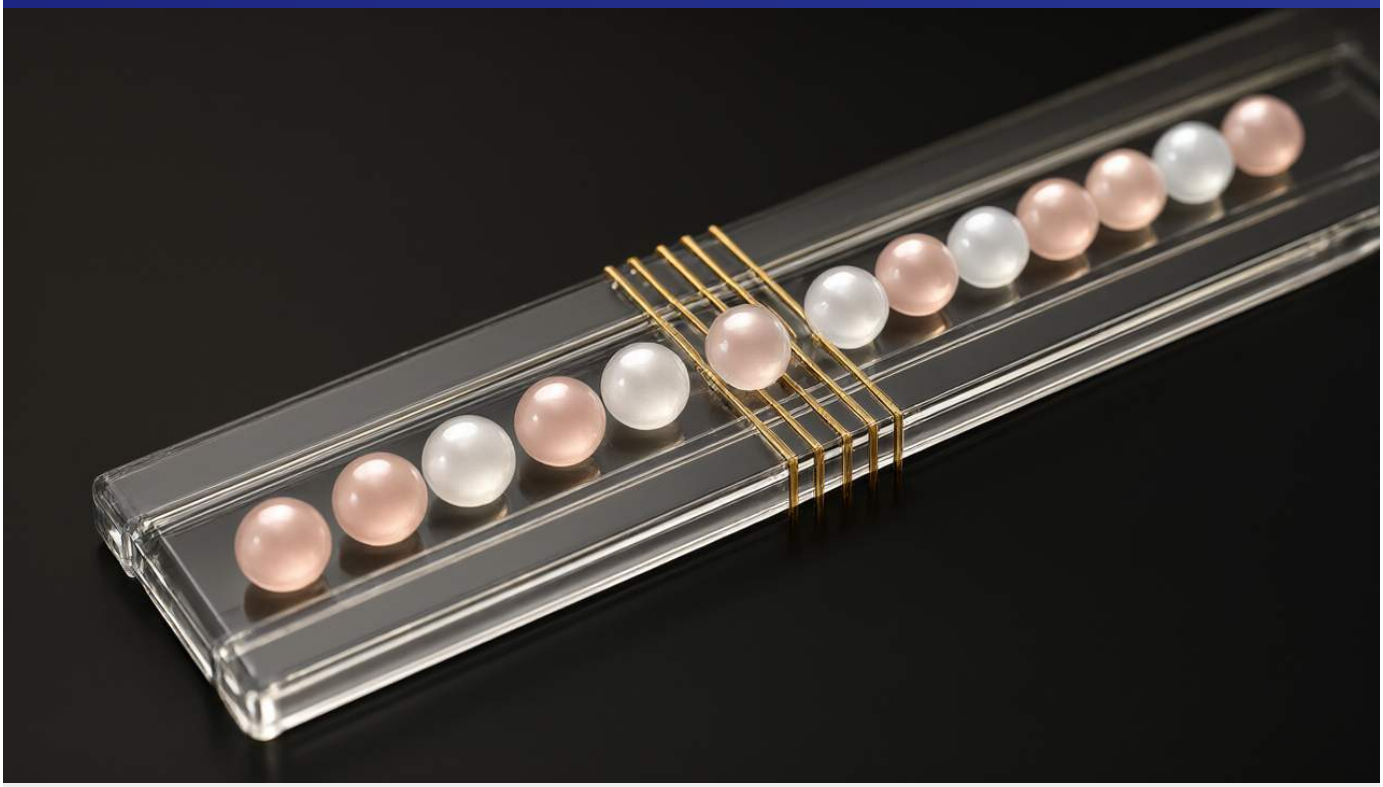
開発されたRT-LAMP-LFAアッセイは、高い分析特異性と感度を示し、視覚的なラテラルフロー検出との互換性も確認されました。これにより、BDBV検出のためのポイント・オブ・ケア（POC）アプローチとしての応用の可能性が支持されています。

元記事: https://doi.org/10.64898/2026.11.09.765523

収集日: 2026年11月14日 | 自動記事収集・翻訳システム (AI使用)

#06 多周波数インピーダンス細胞計測｜機械学習による血液細胞分化の識別性能と手法

公開日 2026年11月13日　bioRxiv（プレプリント）



概要

多周波数マイクロ流体インピーダンス細胞計測を用いて、血液細胞の多段階的な分化を識別するシステムが開発されました。機械学習を導入したこのプラットフォームは、最小F1スコア0.92という高い精度で細胞を分類し、偽陰性と偽陽性の両方を最小限に抑えています。電気的特性と機械的特性を同時に測定するマルチモーダルなアプローチにより、医療診断における細胞識別の精度向上が期待されます。

詳細

主要成果

研究チームは、電気的特性と機械的特性を同時に測定できるマルチモーダルな多周波数マイクロ流体インピーダンス細胞計測システムを開発しました。このシステムに機械学習ワークフローを統合することで、血液細胞の高度な分化識別を実現しています。性能評価において、細胞分類の最小F1スコアは0.92を記録しており、医療診断において極めて重要となる偽陰性と偽陽性の両方を最小限に抑えることに成功しました。

技術・詳細

本システムは、800 kHzから8 MHzという広範な周波数範囲で動作します。技術的な特徴として、以下の2点を統合した構成となっています。

- **機械的特性の測定：** チャンネル内に収縮部（constriction）を設けることで、細胞の機械的な特性を解析することが可能です。
- **電気的特性の測定：** 複数のマイクロ電極を統合し、細胞が通過するさまざまな段階における電場情報をキャプチャします。

データ解析においては、生のインピーダンス信号から抽出された70以上の特徴量を用い、機械学習による分類を行っています。このワークフローにより、新しいサンプルにおける細胞の分類だけでなく、識別において特に重要となる上位5つのパラメータを特定することが可能です。また、好中球と末梢血単核細胞（PBMC）の混合サンプルにおいて、2つの集団が存在することを識別することにも成功しています。

背景・業界の文脈

血液細胞の正確な分化識別は、疾患の診断や病態の把握において不可欠です。従来の計測手法では単一の指標に頼ることが多かったのに対し、本研究のように電気的特性と機械的特性という異なるモダリティを組み合わせ、さらに機械学習による多次元的な解析を行うことで、より精緻な細胞分化の判定が可能になります。

今後の展望

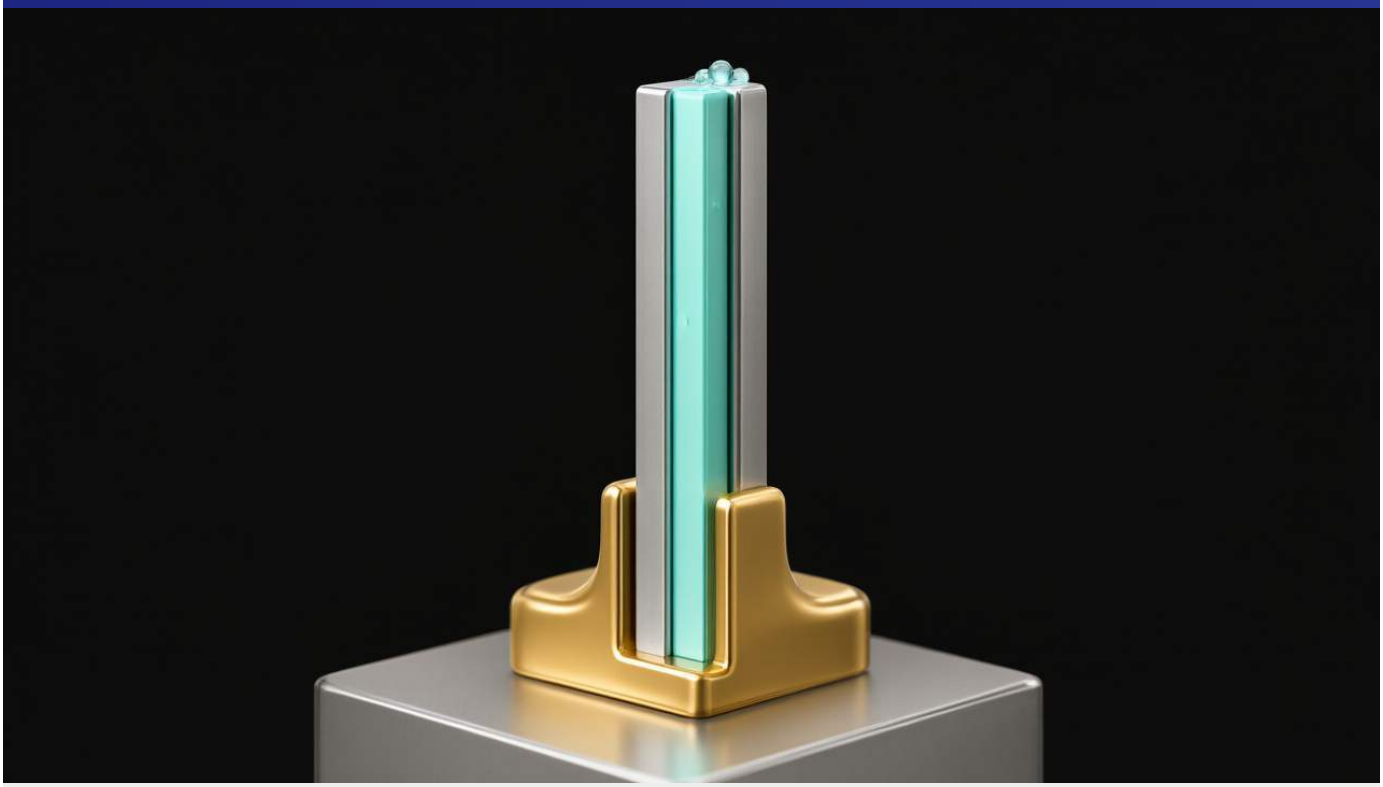
本プラットフォームは、広範な周波数帯域での計測と機械学習による特徴量抽出を組み合わせることで、高い識別精度を実現しました。今後は、抽出された多数の特徴量の中から、どのパラメータが細胞の識別に最も寄与しているかを明確にすることで、より効率的な診断プロセスの構築に寄与すると考えられます。

元記事: https://doi.org/10.64898/2026.11.12.766153

収集日: 2026年11月14日 | 自動記事収集・翻訳システム (AI使用)

#07 SB-FinFET｜心疾患バイオマーカー検出向け非標識センサーの構造と性能

公開日 2026年11月06日　Research Square（プレプリント）



概要

心疾患のバイオマーカーを非標識で検出可能な、新しい形式のショットキー障壁FinFET（SB-FinFET）が設計・シミュレーションされました。非対称な3層チャネル積層構造を採用し、外側2層で電流駆動力を、中央層で高感度な信号変換を担わせることで、駆動能と検知能を分離しています。このデバイスは、従来のNC-FETやTFETと同等の性能を維持しつつ、製造コストと複雑性を低減できるため、迅速なポイントケア診断への応用が期待されます。

詳細

主要成果

心疾患のバイオマーカータンパク質をラベルフリー（非標識）で検出するための、新しいショットキー障壁FinFET（SB-FinFET）の設計とシミュレーション結果が公開されました。3D TCADシミュレーションにおいて、誘電率がk = 1.5–3.5の範囲にある標的バイオ分子（ウリカーゼ、ストレプトアビジン、トロポニンなど）に対し、約1 x 10^8のI ON /I OFF比と低いサブスレッショルドスイングを達成しています。

技術・詳細

本デバイスの最大の特徴は、3つのチャネルを垂直に積み重ねた「非対称トリプルチャネル積層アーキテクチャ」にあります。各チャネルの材質には炭化ケイ素（SiC）が使用され、ショットキー接点にはニッケルシリサイド（NiSi）、ゲート絶縁膜には漏れ電流の抑制と静電結合効率の向上を目的として酸化ハフニウム（HfO2）が採用されています。

また、チャネルごとにドーピング濃度と厚さを変えることで、電流駆動能力とセンシング能力を分離させています。

- 外側2つのチャネル：ドーピング密度 1 x 10^17 cm^-3、深さ 4 nm。適切な電流駆動量と利得（ゲイン）を提供します。
- 中央のチャネル：ドーピング密度 1 x 10^10 cm^-3、厚さ 1 nm。バイオマーカーとタンパク質の相互作用を電気信号に変換する高感度トランスデューサとして機能します。

性能評価においては、伝達コンダクタンス（gm）による線形性分析に加え、三次非線形指標であるVIP3およびIIP3を用いた特性評価が行われています。

背景・業界の文脈

バイオセンサーの分野では、高い感度を実現するためのデバイス構造が模索されており、負電容量FET（NC-FET）やトンネルFET（TFET）などの高度な構造が提案されてきました。今回のSB-FinFETは、これらの既存デバイスと比較して、感度面では同等の性能を示す一方で、製造に伴う複雑性とコストを低く抑えられることが示されています。

今後の展望

製造コストの低減と高い検出性能を両立したSB-FinFETは、新しい心疾患診断デバイスを開発するための優れた実験プラットフォームになるとされています。これにより、患者のケア現場（ポイントケア）において、迅速な診断を可能にするデバイスの実現が期待されます。

元記事: https://doi.org/10.21203/rs.3.rs-11230907/v1

収集日: 2026年11月14日 | 自動記事収集・翻訳システム (AI使用)

#08 ナノバイオセンサー｜HIV抗体等を検出する高感度プラットフォームの性能と仕組み

公開日 2026年11月11日　The Herald Business　韓国



概要

韓国のKITと亜州大学の研究チームが、血清のような高イオン強度環境下でも抗体を検出可能なナノバイオセンサープラットフォームを開発した。単層カーボンナノチューブ（SWNT）と金電極の接合部で生じる電気的変化を利用することで、従来のセンサーが抱えていた検出性能の低下という課題を克服している。この技術により、抗体の有無の確認だけでなく、濃度を測定する定量分析への発展が可能になる。

詳細

主要成果

韓国毒性研究所（KIT）と亜州大学の共同研究チームは、血清などのイオン濃度が高い環境においても、抗体を安定して検出できる超高感度ナノバイオセンサープラットフォームを開発した。研究チームは、ヒト免疫不全ウイルス（HIV-1）に対する抗体を検出ターゲットとして性能検証を行い、血清に匹敵する高イオン強度条件下で、抗体がセンサーに結合した際に発生する電気信号の検出に成功した。

技術・詳細

本技術の核心は、単層カーボンナノチューブ（SWNT）と金電極の接合部に注目した点にある。SWNTは炭素原子が円筒状に配列した構造を持ち、極めて優れた電気的特性を持つため、超高感度センサーの材料として高く評価されている。研究チームは、SWNTが金電極と接触する際に形成される「ショットキー接合」における電気的変化を利用した新しい検出手法を開発した。

このアプローチを採用することで、高イオン強度環境下で発生する電気信号の遮蔽問題を回避し、抗体の結合によって生じる信号を正確にキャプチャすることが可能となった。また、検出される電気信号が抗体濃度に応じて変化することも確認されており、単なる存在確認に留まらず、濃度を測定する定量分析への応用が期待される。

背景・業界の文脈

従来のカーボンナノチューブベースのバイオセンサーは、高い感度を持つ一方で、血液や血清のようにイオン濃度が高い環境では検出性能が著しく低下するという長年の課題があった。生物学的環境における電気信号の遮蔽が、信頼性の高い検出を妨げていたためである。今回の研究は、信号の遮蔽を単に回避するのではなく、接合部の電気的変化を利用するという新しいアプローチを提示した点に意義がある。

今後の展望

本センサーは、表面の認識分子を交換することで、HIV-1抗体以外にも幅広い抗体、タンパク質、バイオマーカーの検出に適応させることが可能である。今後は、このナノバイオセンサーをヒト幹細胞由来の三次元細胞培養やオルガノイド（ミニ臓器）と統合させる計画である。これにより、薬物や有害環境物質に対して細胞や組織がどのように反応するかをリアルタイムで測定し、人体における毒性反応をより精密に分析できる人間模倣バイオセンシングプラットフォームへの発展を目指している。

なお、本研究成果は国際学術誌「Biosensors and Bioelectronics」に9月4日付でオンライン掲載された。

元記事: https://biz.heraldcorp.com/article/10933788

収集日: 2026年11月14日 | 自動記事収集・翻訳システム (AI使用)

#09 ペーパーベース電気化学バイオセンサ｜フェノール系汚染物質の検出性能と構成

公開日 2026年11月10日　BIOENGINEER.ORG



概要

水中の微量なフェノール系汚染物質を検出可能な、柔軟なペーパーベースの電気化学バイオセンサが開発されました。二硫化モリブデンと還元酸化グラフェンのナノハイブリッドにイオン液体を組み合わせ、酵素ラッカーゼを固定化することで、17β-エストラジオールとハイドロキノンを高感度に識別します。低コストで使い捨て可能な環境負荷の低いプラットフォームであり、実環境のサンプルにおいても高い回収率で検出できることが実証されました。

詳細

主要成果

研究チームは、水中に含まれる微量なフェノール系汚染物質を検出するための、柔軟なペーパーベースの電気化学バイオセンサを開発しました。このデバイスは、特に17β-エストラジオール（17β-Estradiol）およびハイドロキノン（hydroquinone）という2種類のフェノール系汚染物質を標的としています。実環境を模したスパイク水サンプルを用いた検証では、高い回収率でこれらの物質を検出することに成功しており、実際の水質モニタリングにおける実用性が示されました。

技術・詳細

本センサの核となるのは、ナノハイブリッド構造で修飾された導電性ペーパー電極です。具体的には、二硫化モリブデン（MoS2）と還元酸化グラフェン（rGO）を組み合わせたナノハイブリッド材料を用い、さらに2種類の特定のイオン液体（1-Butyl-3-methylimidazolium chlorideおよび1-Allyl-3-methylimidazolium chloride）で修飾することで高い感度を実現しています。構造および形態分析により、このナノハイブリッドがペーパー電極上に均一に堆積していることが確認されました。

また、標的物質を選択的に検出するため、修飾電極上に酵素であるラッカーゼ（Laccase）を固定化しています。この生物学的コンポーネントを導電性ナノハイブリッドと統合することで、特定の汚染物質を識別し、定量的に測定することが可能となりました。

性能評価における導電性テストでは、メタノール中でMoS2/rGO@ILs/CPE構成が5.12 × 10–3 S/cmという導電率を記録し、他の溶媒でテストした場合よりも高い値を示しました。検出範囲については、17β-エストラジオールで0.01～70.0 μM、ハイドロキノンで0.1～90.0 μMという広い線形範囲を達成しています。検出限界（LOD）は、17β-エストラジオールが0.01 μM、ハイドロキノンが0.10 μMであり、極めて低濃度の化合物まで検出できる能力を備えています。

背景・業界の文脈

水質汚染の監視において、低コストかつ迅速に微量物質を検出できる手法の確立は重要な課題です。本研究で採用されたペーパーベースのプラットフォームは、従来の分析装置と比較して低コストであり、柔軟で使い捨てが可能であるため、環境に優しい特性を持っています。

今後の展望

今回の研究結果は、イオン液体で修飾したナノハイブリッド材料が、ペーパーベースの電気化学デバイスの性能を向上させる有効な手段であることを裏付けています。この技術プラットフォームは、環境モニタリングにおける効率的な検出手法としての潜在能力を秘めています。

元記事: https://bioengineer.org/paper-based-sensor-detects-trace-phenolic-pollutants/

収集日: 2026年11月14日 | 自動記事収集・翻訳システム (AI使用)

#10 バイオマス由来ハイドロゲルセンサー｜汗のpHを無線監視するウェアラブルデバイスの性能

公開日 2026年11月08日　BIOENGINEER.ORG　アメリカ



概要

バイオマス由来のカーボンとポリアニリンを用いた、運動中の汗のpHをリアルタイムで無線監視できるウェアラブルセンサーが開発されました。このセンサーは285%の破断伸長率という高い柔軟性と、pH単位あたり85.62 ± 0.79 mVという高い電位差感度を両立しています。物理的な変形による影響を受けずに安定した測定が可能なため、身体運動を伴う環境下での実用的なバイオ流体分析を実現します。

詳細

主要成果

研究チームは、バイオマス由来のカーボンとポリアニリンを用いた複合ハイドロゲルセンサーを開発し、身体運動中の汗のpHをリアルタイムかつ無線でモニタリングすることに成功しました。このセンサーは、ウェアラブルデバイスに不可欠な「機械的な変形への耐性」と「高いプロトン応答性（pH感度）」という相反する機能を単一の電極プラットフォーム内で統合した点が大きな成果です。

技術・詳細

開発された複合ハイドロゲルセンシング層（名称：CPN-AB + PVA）は、in situ化学酸化重合法を用いて作製されています。この材料は、以下の3つの機能的要素を組み合わせた多成分構成となっています。

- ボロン酸機能化ポリアニリン：プロトン応答を担う成分
- 農業用トウモロコシ茎由来の多孔質カーボン：バイオマス由来の導電性材料
- ポリビニルアルコール（PVA）ネットワーク：伸縮性を付与するポリマーネットワーク

ボロン酸機能化ポリアニリンとPVAネットワークが直接的に結合することで、伸縮性と感度を同時に確保しています。機械的試験では、破断伸長率285%という極めて高い柔軟性を実証しました。また、pH 2.00から8.00の緩衝液を用いた電気化学評価において、pH単位あたり85.62 ± 0.79 mVという高い電位差感度を達成しています。特筆すべきは、ストレス下で機械的な曲げを加えた状態でも線形な電位応答を維持し、物理的な変形が酸性からアルカリ性までの校正応答を損なわないことが確認された点です。

背景・業界の文脈

柔軟な汗pH電極の開発には、能動的なプロトン応答と機械的な変形能を同時に兼ね備えた特殊なセンシング層が必要とされてきました。従来のセンサーでは、身体の動きに伴う変形が測定値に影響を与えることが課題となっていましたが、本研究ではバイオマス由来のカーボンと機能性ポリマーを組み合わせたハイドロゲル構造を採用することで、この課題を解決しています。

今後の展望

研究チームは、この柔軟電極を統合されたBluetooth読み出しモジュールと結合させ、標準的なベンチトップ環境外での連続的なバイオ流体分析を実証しました。これにより、ユーザーが持続的な身体運動を行っている間、テザー接続（有線接続）を必要とせずに汗のpHを継続的に記録することが可能となりました。機械的な変形能と高い感度を両立させたこの複合ハイドロゲルセンシング層は、身体運動中の柔軟なpH測定における実用的なソリューションになると期待されます。

元記事: https://bioengineer.org/stretchable-biomass-hydrogel-sensor-enables-wireless-sweat-ph-monitoring-during-exercise/

収集日: 2026年11月14日 | 自動記事収集・翻訳システム (AI使用)

#11 FDA緊急使用許可（EUA）｜新興病原体向け診断テストの検証ガイドラインと基準

公開日 2026年11月10日　Clinical Lab Products　アメリカ



概要

米国食品医薬品局（FDA）が、公衆衛生上の緊急事態における新興病原体向け体外診断用医薬品の検証に関する最終ガイダンスを2026年11月10日に発行した。本指針は、分子診断や抗原検査などの診断テストにおいて、規制当局に提示すべき検証データの基準を明確化したものである。これにより、将来のパンデミック発生時にメーカーが迅速かつ適切に診断テストを開発・提供するための枠組みが整備される。

詳細

主要成果

FDAは、連邦食品・医薬品・化粧品法第564条に基づく緊急使用許可（EUA）が正当化される状況において、メーカーが新興病原体の体外診断用医薬品をどのように検証すべきかを示す最終ガイダンスを公開した。この文書は2025年1月7日に公開されたドラフトを経て、2026年11月10日に正式に発行された。本ガイダンスは非拘束的な推奨事項であり、pre-EUAやEUA申請時に提出されるデータ、および適用可能な執行裁量（enforcement discretion）ポリシーの下で提供されるテストに適用される。

技術・詳細

本ガイダンスは、深刻または生命を脅かす感染症の診断を目的とした分子検査や抗原検査を対象としており、CLIA認定ラボ、ポイントオブケア（POC）、家庭用テストが範囲に含まれる。一方で、血清学検査や抗体検査は対象外となっている。具体的な検証基準は以下の通りである。

- **臨床性能：**確立された高感度技術を用いたウイルス核酸検査の場合、通常は意図した使用集団から得た陽性検体30例および陰性検体30例の検証が適切とされる。FDAは、少数のサンプルでは結果が誤導されるリスクを警告しており、過去に12例の陽性サンプルで完璧な性能を示したCOVID-19分子検査が、追加の12例を評価した後に陽性一致率が71%まで低下し、申請が撤回された事例を挙げている。
- **研究設計：**理想的なのは、実際の使用環境で自然臨床検体を用いた前向きな全対象者研究である。自然検体が入手困難な場合は、アーカイブ検体や擬似検体（contrived samples）が許容される。また、病原体ストックがない場合は合成物質（RNAウイルスであれば合成RNA）の使用が検討される。
- **分析感度と包括性：**検出限界（LoD）は、20回以上の繰り返し試験で95%の確率で一貫して検出される最低濃度と定義される。分子検査の包括性については、in silico解析による100%のヌクレオチド配列同一性を推奨し、変異への対応として月次の包括性評価を推奨している。変異により分析感度が3倍以上低下した場合は、リスク分析と緩和策の検討が必要となる。
- **その他：**CDCの安定性仕様に従う場合は追加データは不要だが、それ以外はLoD付近の擬似陽性検体と10例以上の陰性検体を用いた試験が求められる。また、抗原検査における高濃度フック効果の評価や、クロスコンタミネーションのリスクがある場合のキャリーオーバー試験についても言及されている。

背景・業界の文脈

本ガイダンスは、FDAのCOVID-19対応に関する2つの独立した評価報告書を受けて策定された。2021年10月のBooz Allen Hamiltonによる報告書では新興病原体向け診断テストの検証枠組みの構築が、2022年9月のHHS（保健福祉省）監査官室による報告書では将来の緊急事態に向けたEUAテンプレートの整備がそれぞれ推奨されていた。FDAは、COVID-19やmpoxの際に検査能力を迅速に拡大させるため執行裁量ポリシーを適用したが、EUAの有無に関わらず、すべてのテストは適切に検証されていなければならず、不十分な場合はFDAが措置を講じる可能性があることを強調している。

今後の展望

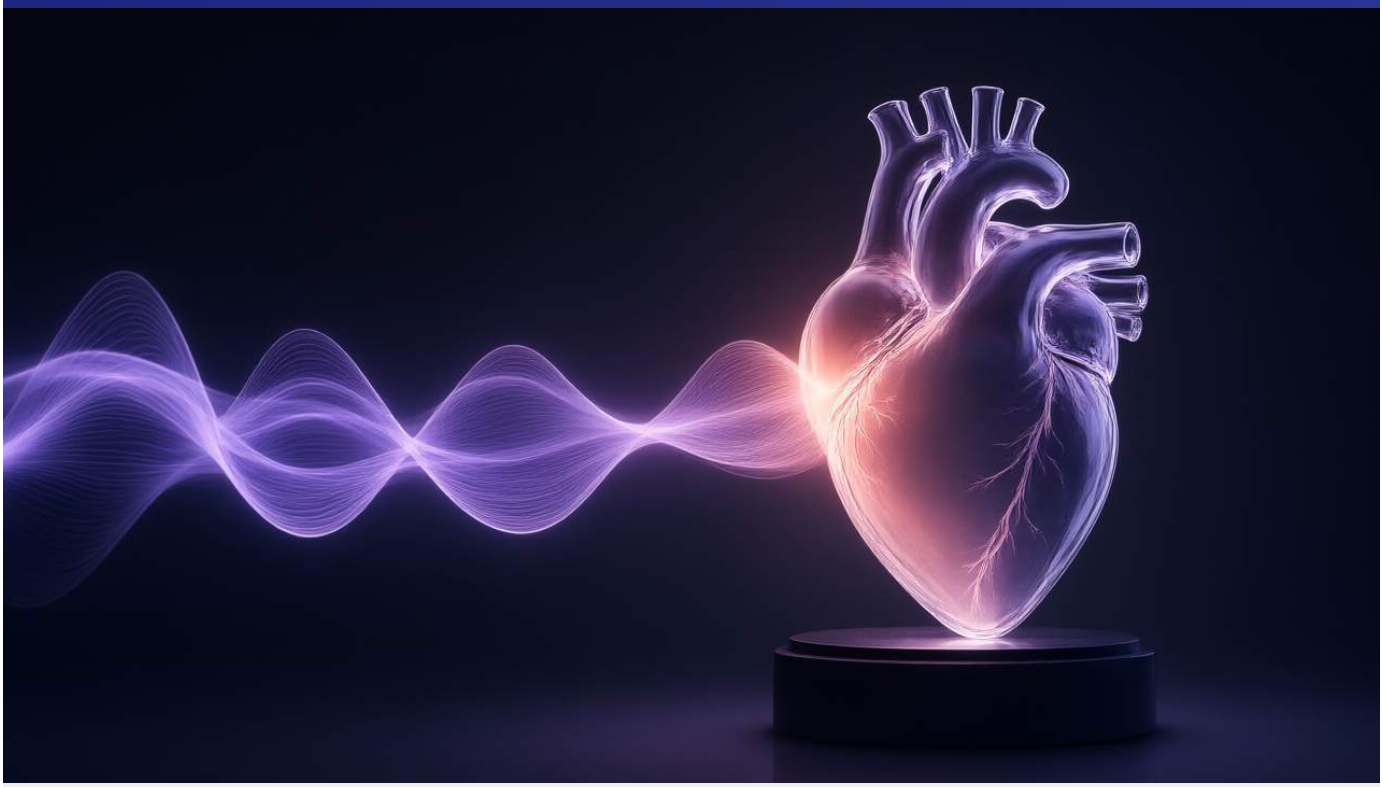
メーカーは、将来的な機器や採取デバイスの追加などの変更に備え、「変更プロトコル（change protocol）」を策定することが可能となる。初期の許可に含まれるプロトコルに基づいた変更は、その許可範囲内とみなされる。また、マルチアナライトパネル（多項目同時検査）では各項目の検証と相互干渉の確認が求められ、家庭用テストでは非侵襲的な採取方法の使用が条件となるなど、テストの種類に応じた個別要件が適用される。

元記事: https://clpmag.com/lab-management/compliance/fda-finalizes-emergency-diagnostic-test-validation-guidance/

収集日: 2026年11月14日 | 自動記事収集・翻訳システム (AI使用)

#12 HearO｜Cordio Medicalの音声解析による心不全モニタリング、性能と検証結果

公開日 2026年11月09日　Yahoo Finance (PR Newswire)　アメリカ



概要

Cordio Medical社が開発したスマートフォンベースの音声解析システム「HearO」が、心不全イベントを平均24.6日前に予測できることを検証した。563人の患者を対象とした多施設共同の盲検化試験「DETECT-HF」において、心不全イベントの70%以上を事前に検知し、85%という高いコンプライアンスを記録した。侵襲的なデバイスを必要とせず、日常的な音声録音のみで肺の水分蓄積を検知できるため、入院リスクの低減と広範な患者への適用が期待される。

詳細

主要成果

Cordio Medical社は、心不全モニタリングのための音声・発話解析システム「HearO」の検証試験「DETECT-HF」の結果を発表した。アメリカ心臓協会（AHA）のサイエンティフィック・セッションズ2026にて「Late-Breaking Science」として提示されたこの研究は、563人の患者を対象とした多施設共同の盲検化試験である。その結果、HearOは心不全イベントの70%以上を、発生の平均24.6日前に予測することに成功した。また、患者のコンプライアンス（遵守率）は85%に達し、デバイスに関連する有害事象は報告されなかった。

技術・詳細

HearOは、標準的なAndroidおよびiOSスマートフォンを用いて短時間の日常的な音声録音を行い、肺における水分蓄積に伴う変化を検知するシステムである。追加のハードウェアを必要とせず、音声信号処理とAIを組み合わせて患者個別の音声モデルを構築する。検知された変化はセキュアなウェブベースのポータルを通じて医療チームに通知され、臨床医が介入の必要性を判断する仕組みとなっている。この特許技術は言語に依存せず、DETECT-HF試験では英語、スペイン語、ヘブライ語、ロシア語、アラビア語の話者が参加した。

ユーザビリティについても高い評価を得ており、平均的なユーザビリティ評価は5点満点中4.7から4.9であった。また、正当な理由のないアラート（unexplained alerts）の発生率は、患者1人あたり年間2.65回であり、試験で事前に設定された目標値である「3回未満」を下回った。

背景・業界の文脈

心不全は米国で推定770万人の成人が罹患しており、65歳以上の入院の主要な原因となっている。全米での年間コストは400億ドルを超える。心不全患者は肺に水分が徐々に蓄積し、最終的に入院が必要となるが、この水分蓄積を遠隔でモニタリングすることは大きな課題であった。従来の体重測定による管理は信頼性に欠け、患者の遵守率が低い傾向にある。一方、より高度なモニタリング技術は侵襲的な処置や専用デバイスを必要とするため、導入のハードルが高かった。

今後の展望

HearOは、米国食品医薬品局（FDA）からブレイクスルーデバイス指定を受けており、欧州でのCEマーク取得およびイスラエルでの使用承認を得ている。Cordio Medical社は、DETECT-HFの結果を用いてDe Novo経路によるFDAの販売承認申請を行い、2027年の米国市場への導入を計画している。同社は、標準的なスマートフォンで動作するこの技術を普及させることで、大規模かつ多様な患者集団に効果的なモニタリングを提供し、入院回数の削減と生活の質（QOL）の向上を目指している。

元記事: https://finance.yahoo.com/healthcare/articles/pivotal-study-validates-cordio-medicals-133000053.html

収集日: 2026年11月14日 | 自動記事収集・翻訳システム (AI使用)